
COMUNICACIONES

CREACION DE MODELOS MATEMATICOS PARA EL ESTUDIO DE TRANSITORIOS

Por R. Marqués Fernández (*)

Séptima parte

Introducción.-

Se consideran las ecuaciones que rigen el fenómeno del "golpe de arrastre", ⁽¹⁾,⁽²⁾,⁽³⁾ dando lugar a un sistema de ecuaciones diferenciales totales de primer orden que se integra numéricamente por el método de las características ⁽⁴⁾,⁽⁵⁾, mediante discretización numérica de segundo orden de aproximación. Se incluye listado del programa en Fortran, así como algunos resultados obtenidos en el ejemplo que se plantea.

Plantamiento de ecuaciones.-

A partir de la ecuación de Bernouilli para régimen no estacionario y de la ecuación de continuidad para líquidos

(*) Trabajo realizado con beca de ayuda a la investigación del Fondo IBM (Equipo formado por R. Marqués Fernández, M. Llorens Morraja, L. Jutglar Banyeres, M. Villarrubia López, A.L. Miranda Barreras, J.L. González Vicente, C. Franco Peral, J. Gultresa Colomer, G. Franco González; de la Cátedra de Física Industrial de la Facultad de Ciencias. Barcelona).

compresibles viscosos en conducciones elásticas horizontales, se obtiene el siguiente sistema casi lineal de ecuaciones diferenciales en derivadas parciales, de tipo hipérbolico:

$$L_1 = \frac{c}{\rho} \frac{\partial p}{\partial x} + \frac{1}{\rho} \frac{\partial p}{\partial t} + a^2 \frac{\partial c}{\partial x} = 0 \quad (1)$$

$$L_2 = \frac{1}{\rho} \frac{\partial p}{\partial x} + c \frac{\partial c}{\partial x} + \frac{\partial c}{\partial t} + f \frac{c/c_f}{2D} = 0 \quad (2)$$

Considerando la combinación lineal, $L = L_1 + \lambda L_2$, se obtiene un sistema equivalente al anterior para valores de $\lambda = \pm \frac{1}{2}$ (véase informe precedente sobre el mismo tema).

$$\left. \begin{aligned} \frac{dc}{dt} + a \rho \frac{dc}{dt} + a \rho f \frac{c/c_f}{2D} &= 0 \\ \frac{dx}{dt} = c + a \end{aligned} \right\} c^+ \quad (3)$$

$$\left. \begin{aligned} \frac{dc}{dt} - a \rho \frac{dc}{dt} - a \rho f \frac{c/c_f}{2D} &= 0 \\ \frac{dx}{dt} = c - a \end{aligned} \right\} c^- \quad (4)$$

Las ecuaciones (3) y (4) reciben el nombre de características y están restringidas respectivamente a las direcciones características (3) y (4).

Ejemplo de cálculo

Estudio del efecto de arrastre que se produce debido al cierre de una válvula, en el extremo izquierdo de una tubería horizontal de hierro comercial de 1750 metros de longitud y 1,2 metros de diámetro, destinada al transporte de agua.

Condiciones iniciales (réjula estacionaria, válvula completamente abierta):

Velocidad media en la tubería, $c_0 = 1,1 \text{ m/seg.}$

Presión en la válvula, $p_0|_{x=L} = 9 \cdot 10^5 \text{ N/m}^2$

Ley de cierre de la válvula:

$$\tau = \frac{(C_d \beta_v) \cdot 0}{c_0 \beta_v} = (1 - \frac{t}{t_c})^b \quad (7)$$

donde t_c es el tiempo de cierre completo de la misma. Se considera $t_c = 6,2 \text{ seg.}$ y $b = 3,2.$

Otros datos: Se ha elegido un factor de fricción, $f=0,019$ y una velocidad cónica(celeridad) $a = 1197 \text{ m/seg.}$

Condiciones de contorno

a) A la entrada de la tubería

El flujo que entra en la tubería, es suministrado por un depósito naveante a la misma, cuyo nivel se mantiene constante.

En este caso la ecuación (2) es válida, pero no ocurre lo mismo con (3). Esta última podrá reemplazarse por:

$$p + \frac{1}{2} \rho c^2 = \text{Cte} \quad \text{para} \quad c > 0 \quad (8)$$

$$p = \text{Cte} \quad \text{para} \quad c < 0 \quad (9)$$

donde la constante podrá determinarse a partir de la condición inicial que da la presión del fluido en la válvula en condiciones acáclimas estacionario.

b) Al final de la tubería

En este caso debe reemplazarse (8) (no aplicable ahí), por la condición de flujo, que impone la válvula situada en este extremo.

El flujo a través de la válvula, inicialmente vendrá dado por:

$$Sc_0 = (c_a s_v)_0 \sqrt{2p_0/\rho} \quad (10)$$

y en general por,

$$Sc = c_a s_v \sqrt{2p/\rho} \quad (11)$$

dividiendo estas expresiones resulta,

$$\frac{c}{c_0} = \tau \sqrt{\frac{p}{p_0}} \quad (12)$$

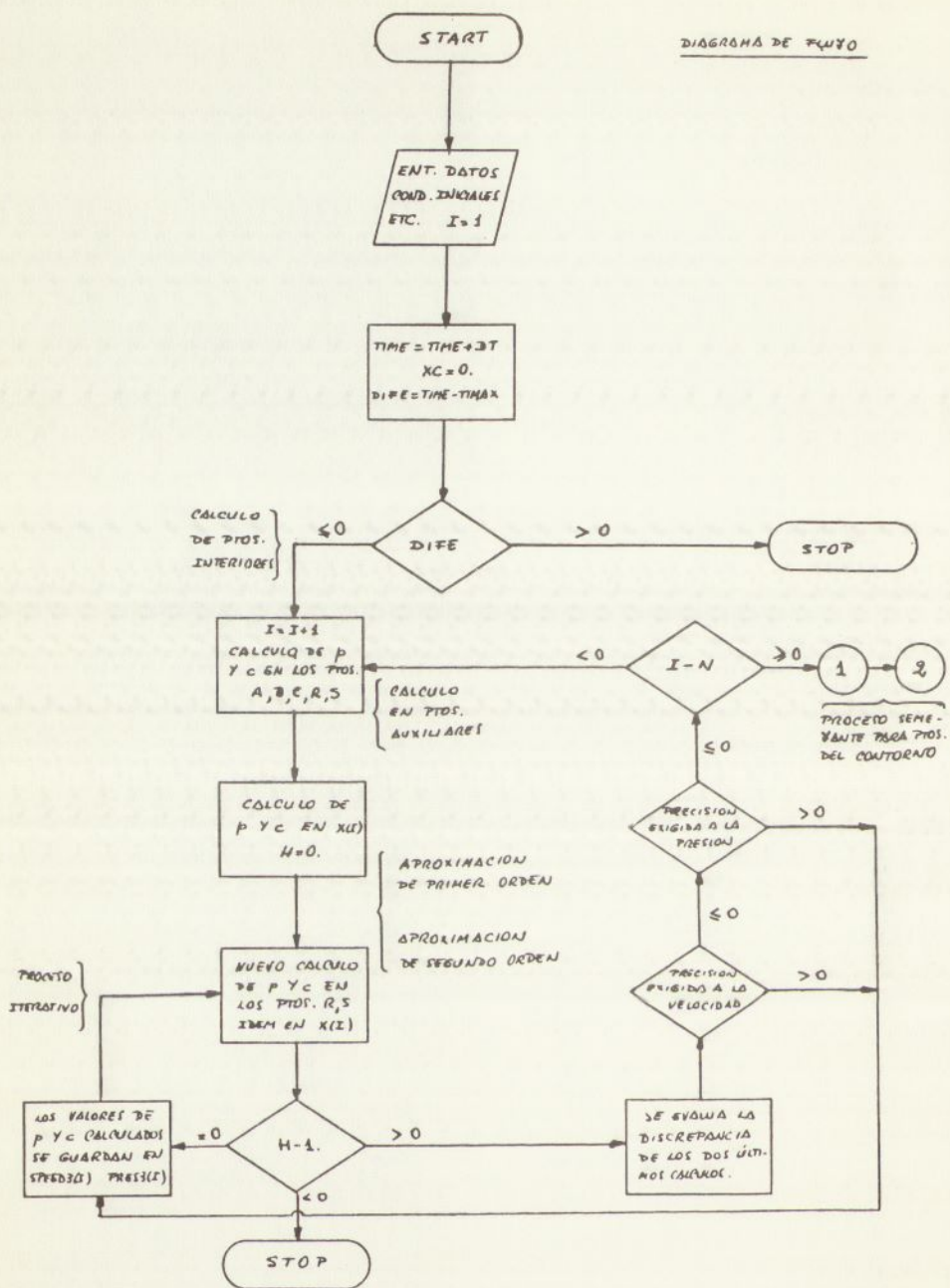
Así pues en nuestro caso tiene (12) para $t < t_c$, mientras que para $t \geq t_c$, la velocidad en $x = x_L$ es nula, esto es $c = 0$.

Programa de cálculo.-

A partir del problema físico enunciado, se ha considerado la solución que desarrolla Streeter⁽¹⁾,⁽²⁾ procurando completarla hasta un segundo orden de aproximación y utilizando un proceso iterativo a fin de obtener la precisión deseada en la evaluación de las variables dependientes p (presión) y c (velocidad). A efectos de brevedad del presente informe, se han omitido las numerosas expresiones discretizadas que conducen paso a paso a determinar la solución en cada punto, que por otra parte pueden reconstruirse rápidamente a partir del artículo de Mary Lister⁽³⁾.

El programa resuelve el problema para tiempos cortos (once puntos sobre la tubería) y hasta un tiempo máximo de 10 segundos. Sin embargo se presentan, por las sencillas razones de brevedad, unos pocos resultados.

DIAGRAMA DE FLOJO



LISTADO DEL PROGRAMA

ESTE PROGRAMA RESUELVE MECANICAMENTE LAS ECUACIONES DIFERENCIALES DE DERIVADA PARCIALES HIPERBOLICAS SOBRE EL PUERTO EN CUPOS DE ARRIATE POR EL METODO DE LAS CARACTERISTICAS, CON APROXIMACIONES DE SEGUNDO ORDEN Y MEDIANTE PROBLEMA DE VERTICE.

CONDICIONES DE COSTEO...DEPOSITO AL INICIO DE LA SUPERFICIE Y VALVULA AL FINO.

DIMENSION SP3D1(100),SP3D2(100),PRES1(100),PRES2(100)

REAL LONG

```

1  SQRAT(2*(10,1),110,-(*10,1)/h(*10,5))
2  SQRT(*1K,1000,DIG,100,0.0001//)
3  SQRT(1/K,1000,DIG=1,*7.1,1/K,1/K,11=1,10,1/K,1000,T=1,0h,
111//)
4  SQRT(16K,1100,T=1,*6.3,1/K,1000,DIG=1,PH,1,10K,1000,T=1,PH,1,10K,
111,TMAX=1,F7.1//)
5  SQRT(10K,1000,DIG=1,*12.0,10K,1000,T=1,*7.1,1/K,1/K,1000,DIG
11=1,*6.0,0//)
6  SQRT(*11,204,1000 AS 3 VELOCIDADES DE DESACELERACION DE LA TURBINA)
7  SQRT(100,2K,1000,T=1,KIN=0.0,DX,20.1,DX,20.2,DX,20.3,0
11K,DX,DX,DX,21.5,DX,21.6,DX,21.7,DX,21.8,DX,21.9,DX,21.1)
8  SQRT(100,21.7,2K,DX=1,1100,F7.0/17K,0.0=1100)
212 SQRT(///,(2K,1100,)//)
END(1,1)END,,,1,BIANT,,0.0,D,SP3D2,PH,0.0,T=1,PH,1,0.0
111
  RATE(5,0)
  RATE(0,0)OCU,1,0,BIANT
  RATE(5,0)ACU,1,0,D,PH,TMAX
  RATE(5,0)ACU,1,0,D,PH
```

FINCARC FILE INI C:\DATA\WIND3.FIN

```

DN=DX,.00001*D**2+DX**2*D**2*D**2*D**2/(.00001*D**2)
DN=1.101+.00001*D**2*D**2*D**2*D**2//.
DX=1.41
DO 100 I=1,1
100 DEX(I)=DN*D,I
DN=1.41

```

```

100 PDIS1(I)=DN/14*COS(I*D)
DX=1.
TMAX=0.
DX=LONG/R
DX=LONG/(R*)
DX=DX/DX
RATE(5,6)
RATE(3,7)
```

```

      DO 300 I=1,K
300  PRE51(I)=PRE51(I)/9.81*10000.)
101  WRITE(3,3)TIME,TAU,(PRE51(I),I=1,K),(SPEED1(I),I=1,K)
      DO 700 I=1,K
700  PRE51(I)=0.31*10000.*PRE51(I)
      TIME=TIME+DT
      XC=0
      IF(TIME-TIMAX)>99,99,30
C
C      CALCULO DE PUNTOS INTERIORES.APROXIMACION DE PRIMER ORDEN
C
99  CONTINUE
      DO 102 J=2,N
      XC=X0+DX
      DC=PRE51(I)
      CC=SPEED1(I)
      TA=PRE51(I-1)
      CA=SPEED1(I-1)
      PI=PRE51(I+1)
      CI=PRE51(I+1)
      XC=XC-(CC+CI)*DT
      XC=XC-(CC+CA)*DT
      CR=(TA-DC)*(CC+CA)*ZETA
      CT=(CC+CA)*(CC+CI)*ZETA
      CI=(PI-DC)*(CC+CA)*ZETA
      CC=(CI-DC)*(CC+CA)*ZETA
      CR=CR*(1.+0.5*(DT*DT/3.0)+0.5*(DT*DT)*(CI-CC)/2.)
      CT=CT*(1.+0.5*(DT*DT/3.0)+0.5*(DT*DT)*(CC-CA)/2.)
      PI=PI*(1.+0.5*(DT*DT/3.0)+0.5*(DT*DT)*(CI-PI)/(2.*DT)+0.5*(DT*DT)*(CC+PI)*(CI-CA)/2.)
102
C
C      CALCULO DE PUNTOS INTERIORES.APROXIMACION DE SEGUNDO ORDEN
C
      H2=0.
103  GM=A=1./((DT*DX*(J+4))-1./((J+4)*A))
      DT/TA=1./((DT*DX*(J+1))-1./((J+1)*A))
      DA=0.
      X0=X1-1.*DT/TA+XA
      XC=X0-1.*DT/TA+XA
      CR=(TA-DC)*(X0-XC)/(2.*DX)+(A+1.-1.*DA)*(X0-XC)*(XA-XC)/(2.*DX)
      CT=(DC+CA)*(X0-XC)/(1.*DX)+(0.140+1.*DA)*(X0-XC)*(XA-XC)/(2.*DX)
      CI=(CI-DC)*(X0-XC)/(2.*DX)+(1.4+1.-1.*DA)*(XA-XC)*(XA-XC)/(2.*DX)
      CC=(CA+CI)*(X0-XC)/(2.*DX)+(1.4+1.-1.*DA)*(X0-XC)*(XA-XC)/(2.*DX)
      H2=(A+1.-1.*DA)*(X0-XC)*(XA-XC)*(XA-XC)*(XA-XC)*DX/12.
      DA=1.*DT/TA+(A+1.-1.*DA)
      PI=PI+CR+CT+CI+CC+H2/(1.*DT+0.5*(DT*DT))
      XC=XA+DX, X0,X1,XC

```

```

000 SPEED3(I)=RO*(SQRT(1.-#I)-1.)
  GO TO 1003
001 SPEED3(1)=0.
  GO TO 1005
002 SPEED3(I)=RO*(1.- SQRT(1.4FI))
003 PRES3(I)=PR4*A*DENSW*(CR-SPEED3(I))-A*DENSW*FRIC1*(CR*ABS(CR)+SPEED
133(I)*ABS(SPEED3(I))*DT/(4.*DIANT)

```

PROCESO ITERATIVO

```

104 S3=SPEED3(I)
P3=PRES3(I)
GO TO 105
105 SP3=ABS(S3-SPEED3(I))
PR3=ABS(P3-PRES3(I))
IF(SP3-0.001)106,106,104
106 IF(PR3-0.001)102,102,104
102 CONTINUE

```

CONDICION DE CONTORNO A LA ENTRADA. APROXIMACION DE PRIMER ORDEN.

```

XC=DX
PA=PRES1(1)
CA=SPEED1(1)
PB=PRES1(3)
CB=SPEED1(3)
PC=PRES1(2)
CC=SPEED1(2)
KC=-(CA-A)*DT
PS=PA-(PC-PA)*(CA-A)*GETA
CS=CA-(CC-CA)*(CA-A)*GETA
C1=PS-A*DENSW*CS+A*DENSW*FRIC1*CA*ABS(CA)*DT/(2.*DIANT)
IF(CA)112,113,113
113 SPEED3(1)=A*(SQRT(1.42.*AK-C1)/(A*A*DENSW))-1.
PRES3(1)=C1+A*DENSW*SPEED3(1)
GO TO 500
112 SPEED3(1)=(AK-C1)/(A*DENSW)
PRES3(1)=AK

```

CONDICION DE CONTORNO A LA ENTRADA. APROXIMACION DE SEGUNDO ORDEN.

```

500 CONTINUE
Ht=0.
119 DELTA=1./(SPEED3(1)-A)+1./(CS-A)
Ht=Ht+1.
K3=-2.*DT/DELTA
PS=PC-(PB-PA)*(XC-X3)/(2.*DX)+(PA+PB-2.*PC)*(XC-X3)*(XC-X3)/(2.*DX
1*DX)
CS=CC-(CB-CA)*(XC-X3)/(2.*DX)+(CA+CB-2.*CC)*(XC-X3)*(XC-X3)/(2.*DX
1*DX)
CZ=PS-A*DENSW*CS+A*DENSW*FRIC1*CS*ABS(CS)*DT/(4.*DIANT)
C3=1.4A*FRIC1*DT/(2.*DIANT)
IF(CA)114,115,115

```

```

115 SPEED3(1)=A*(SQRT(1.+2.*C3*(AK-C2)/(A*A*DENSW))-1.)/C3
    PRES3(1)=C2+A*DENSW*SPEED3(1)+A*DENSW*FRICIT*SPEED3(1)*SPEED3(1)*DT
    1/(l1.*DIANT)
    GO TO 400
114 SPEED3(1)=(2.*DIANT/(FRICIT*DT))*(1.-SQRT(1.-FRICIT*DT*(AK-C2)/(A*DENS
    W*DIANT)))
    PRES3(1)=AK
C
C      PROCESO ITERATIVO.
C
400 CONTINUE
    IF(H-1.)30,116,117
116 S3=SPEED3(1)
    P3=PRES3(1)
    GO TO 119
117 SP3=ABS(S3-SPEED3(1))
    PR3=ABS(P3-PRES3(1))
    IF(SP3>0.001)118,116,116
118 IF(PR3>0.001)120,120,116
120 CONTINUE
C
C      CONDICION DE CONTORNO A LA SALIDA. APROXIMACION DEL PRIMER ORDEN.
C
121 XC=(H-1.)*DX
    PA=PRES1(K-2)
    CA=SPEED1(K-2)
    PB=PRES1(K)
    CB=SPEED1(K)
    PC=PRES1(K-1)
    CC=SPEED1(K-1)
    XS=LONG-(CB4A)*DT
    TB=PB-(PB-PC)*(CB4A)*DT
    CB=CB-(CB-CB)*(CB4A)*DTA
    CB=CB+PB/(A*DENSW)-FRICIT*CB*ABS(CB)*DT/(2.*DIANT)
    IF(TIME-TIMEC)122,123,123
122 TA0=(1.-TIME/TIMEC)**3
    CH=A*DENSW*((SPEED1*TA0)**2)/PRES1
    SPEED2(1)=SQRT(CH*CH/l1.*4*CH**5)-0.5*CH
    PRES2(K)=A*DENSW*(CH-SPEED2(K))
    GO TO 500
123 SPEED2(K)=0.
    PRES2(K)=A*DENSW*CH
C
C      CONDICION DE CONTORNO A LA SALIDA. APROXIMACION DEL SEGUNDO ORDEN.
C
500 CONTINUE
    I=0
124 DA=1./(CH*SPEED2(K)+A)+1./(CB4A)
    I=I+1.
    XS=LONG-2.*DT/DA*A
    CH=DA-(DA-A)*(K0-K1)/(2.*OK)+(DA+PB-2.*DC)*(K0-XS)*(XS-XS)/(2.*DX
    1*OK)
    CB=CH-(CH-CA)*(XS-XS)/(2.*OK)+(CA+CB-2.*DC)*(K0-K3)*(K0-XS)/(2.*DX
    1*OK)

```

```

CC6=1.4*FRICT*DT*C4/(4.*DIANT)
CC7=CS+PS/(A*DENSW)-FRICT*CS*ARE(CS)*DT/(4.*DIANT)
11F(TIME-TIMEC)125,125,125
124 SSPEED3(K)=(SQRT(C1*C4/4.+C4*C6*C7)-0.5*C1)/C6
  PPRES3(K)=A*DENSW*(C7-SPEED3(K)-FRICT*SPEED3(K)*SPEED3(K)*DT/(4.*DI
  1ANT))
  CGO TO 600
125 TTAU=0.
  SSPEEDE3(K)=0.
  PPRES3(K)=A*DENSW*C7

  1PROCESSO ITERATIVO.

600 CCONTINUE
  11F(H-1.)30,126,127
126 SS3=SPEED3(K)
  PP3=PRES3(K)
  CGO TO 121
127 SS3=ABS(S3-SPEED3(K))
  PP3=ABS(P3-PRES3(K))
  11F(S3-0.001)120,120,126
128 11F(P3-0.001)130,130,126
130 CCOUNTINUE
  LDO 131 I=1,K
  SPEED1(I)=SPEED2(I)
131 11FES1(I)=PRES3(I)/(9.81*10000.)
  CGO TO 101
30 LSSTOP
  LEAD

```

Alturas y velocidades en diez secciones de la tubería

Altura m.s.n.m.	Vel.	K/L =	.0	.1	.2	.3	.4	.5	.6	.7	.8	.9	1.
0.000	1.000	2= 0.342 C= 1.10	9.226 1.10	9.309 1.10	9.292 1.10	9.275 1.10	9.258 1.10	9.242 1.10	9.225 1.10	9.203 1.10	9.191 1.10	9.174 1.10	
0.146	0.926	2= 0.235 C= 1.10	9.337 1.10	9.320 1.10	9.303 1.10	9.287 1.10	9.270 1.10	9.253 1.10	9.236 1.10	9.219 1.10	9.202 1.10	9.1767 1.05	
0.292	0.757	2= 0.237 C= 1.10	9.339 1.10	9.330 1.10	9.314 1.10	9.297 1.10	9.280 1.10	9.263 1.10	9.246 1.10	9.230 1.10	9.216 1.05	10.371 1.05	
0.438	0.721	2= 0.232 C= 1.10	9.335 1.10	9.322 1.10	9.324 1.10	9.307 1.10	9.290 1.10	9.273 1.10	9.257 1.10	9.237 1.10	9.216 1.05	10.926 0.95	
0.585	0.725	2= 0.242 C= 1.10	9.323 1.10	9.323 1.10	9.326 1.10	9.317 1.10	9.301 1.10	9.284 1.10	9.264 1.05	9.247 1.05	9.220 1.00	11.607 0.90	
0.721	0.659	2= 0.239 C= 1.09	9.347 1.09	9.327 1.09	9.323 1.09	9.319 1.09	9.311 1.09	9.297 1.05	9.287 1.05	9.277 1.00	9.261 0.95	12.222 0.85	
0.867	0.614	2= 0.257 C= 1.09	9.324 1.09	9.340 1.09	9.321 1.09	9.315 1.09	9.286 1.05	10.471 1.05	11.059 1.00	11.656 0.95	12.249 0.85	12.527 0.85	
1.013	0.261	2= 0.237 C= 1.09	9.336 1.09	9.336 1.09	9.334 1.09	9.337 1.05	10.476 1.00	11.078 0.95	11.665 0.90	12.265 0.85	12.874 0.80	15.450 0.75	
1.170	0.512	2= 0.255 C= 1.09	9.340 1.09	9.320 1.09	9.303 1.09	10.494 1.04	11.080 1.00	11.690 0.95	12.282 0.90	12.892 0.85	13.505 0.80	14.096 0.75	
1.316	0.466	2= 0.241 C= 1.09	9.333 1.09	9.307 1.04	10.490 0.99	11.095 0.95	11.703 0.90	12.285 0.85	12.896 0.80	13.521 0.75	14.110 0.70	14.704 0.65	
1.462	0.423	2= 0.240 C= 1.09	9.312 1.04	10.498 0.99	11.099 0.94	11.704 0.89	12.290 0.85	12.905 0.80	13.525 0.75	14.115 0.70	14.721 0.65	15.299 0.60	
1.608	0.393	2= 0.339 C= 0.99	10.503 0.99	11.104 0.94	11.712 0.89	12.254 0.85	12.900 0.79	13.528 0.74	14.125 0.70	14.722 0.65	15.305 0.60	15.373 0.55	

NOMENCLATURA

a = celeridad	A
b = exponente de la ecuación que calcula	B
c = velocidad del fluido	SPEED1(1), SPEED3(1)
c_0 = velocidad media inicial del fluido	SPEED1
C_d = coeficiente de descarga de la válvula	
D = diámetro de la tubería	DIAMT
f = factor de rozamiento o de fricción	FRICF
g = celeración de la gravedad	GRAV
L = longitud de la tubería	LONG
n = número de tramos iguales en que se divide L	N
p = presión	PRES1(1), PRES3(1)
p_0 = presión inicial de la válvula	PRES1
s = área de la sección recta de la tubería	
s_v = área de la sección recta de la válvula	
t = tiempo	TIME
t_c = tiempo de cierre de la válvula	TIMEC
t_{max} = valor máximo de t	TIMAX
Δt = discretización constante de t ($=L/CAN$)	DT
x = distancia sobre el eje de la tubería	
Δx = discretización constante de x ($=L/N$)	DX
ρ = densidad del fluido	DENSW
τ = ley de cierre de la válvula	TAU

BIBLIOGRAFIA

- (¹) V.L. STREETER, E.B. WYLIE. *Hydraulic Transients*. Mc.Graw-Hill Book Company, New York, 1.967.
- (²) V.L. STREETER, *Fluid Mechanics* Mc.Graw-Hill, Book Company, New York, 1.958.
- (³) G. RICH. *Hydraulic Transients*, Dover Publications, Inc. New York, 1.963.
- (⁴) LISTER,N. *The Numerical Solutions of Hyperbolic Partial Differential Equations by the Method Characteristics*, in A. Ralston and H.S. Wilf (eds.) *Mathematical Methods for Digital Computers* John Wiley and Sons, Inc. New York, 1.960.
- (⁵) G.E. FORSYTHE, W.R. WASOW, *Finite Difference Methods for Partial Differential Equations*, John Wiley and Sons, Inc. Cuarta Edición New York, 1.967.